

## بهسازی سیستم تعلیق عقب خودروی سواری به منظور بهبود عملکرد دینامیکی آن

رضا کاظمی\* و بهزاد حامدی\*\*

دانشکده مهندسی مکانیک، دانشگاه صنعتی امیرکبیر

مرکز تحقیقات ایران خودرو، واحد دینامیک خودرو

(دریافت مقاله: ۷۸/۱/۲۱ - دریافت نسخه‌نهایی: ۷۹/۴/۴)

چکیده - این مقاله با توجه به نتایج پژوهه تحقیقاتی تحت عنوان "بهسازی سیستم تعلیق عقب پیکان ۱۶۰۰" تهیه شده است. هدف از انجام این پژوهه، بهبود عملکرد دینامیکی یعنی راحتی سواری<sup>۱</sup>، پایداری و مانورپذیری<sup>۲</sup>، خودروی پیکان و با توجه به اعمال حداقل تغییرات بر روی تعلیق عقب خودروی مورد نظر است. سیستم تعلیق اولیه پیکان که در حال حاضر نیز در نمونه‌های تولیدی دیده می‌شود از یک اکسل صلب به همراه فنرهای تخت تشکیل شده است که پس از جایگزین کردن مکانیزم سه لینکی جدید با میله عرضی تحت عنوان میله پانهارد<sup>۳</sup> به همراه فنرهای حلقوی<sup>۴</sup>، بهبود قابل توجهی را در عملکرد دینامیکی خودرو نشان داد. به منظور بررسی تأثیر تغییر پارامترهای سینماتیکی و دینامیکی خودرو مانند مرکز رول<sup>۵</sup> و سختی رول<sup>۶</sup> بر روی رفتار دینامیکی از مدل‌های هفت و سه درجه آزادی به ترتیب برای بررسی سواری و مانورپذیری خودرو استفاده شده است. برای تأیید نتایج حاصله از تحلیلهای انجام شده، آزمونهای حسی نیز صورت گرفت که نتایج به دست آمده بهبود قابل توجهی را در عملکرد دینامیکی خودرو نشان می‌دهند.

## Improving the Dynamic Performance of Passenger Cars via Rear Suspension Mechanism Modification

R. Kazemi and B. Hamedī

Vehicle Dynamics Department, Iran Khodro Company Research Center

**ABSTRACT-** This paper presents the results of a recent project of IKCo's research center to modify Paykan 1600's rear suspension mechanism with the purpose of improving comfort, stability and handling qualities. The car was originally equipped with a solid rear axle with leaf springs. By replacing the original mechanism

\*- دانشجوی دکترا  
\*\*- کارشناس ارشد

*with a three-link mechanism with panhard bar and coil springs, the ride comfort and handling characteristics of the car were noticeably improved. 7DOF ride and 3DOF handling models were developed and analyzed to determine the important kinematic and dynamic effects of the new mechanism such as Roll Center and Roll Stiffness on vehicle responses. To verify analytical results, subjective tests were carried out on the vehicle. The results demonstrated remarkable improvement of the car's dynamic behavior.*

### فهرست علائم

$t_f$	عرض جلوی خودرو	$I_{xx}$	مان اینرسی رول بدنه	a	فاصله مرکز ثقل خودرو تا اکسل
$t_r$	عرض عقب خودرو	$I_{xz}$	مان اینرسی حاصلضرب بدنه	جلو	
U	سرعت طولی خودرو	$I_{yy}$	مان اینرسی پیچ بدنه	b	فاصله مرکز ثقل خودرو تا اکسل
V	سرعت جانبی خودرو	$I_{zz}$	مان اینرسی یاو بدنه	عقب	
$Z_{ar}$	جایه جایی عمودی اکسل عقب خودرو	$I_{rx}$	مان اینرسی رول اکسل عقب	$C_s$	میرایی کمک فنر سیستم تعليق
$Z_b$	جایه جایی عمودی بدنه خودرو	$M_s$	جرم بدنه	$C_{tot}$	میرایی رول کل خودرو
$\theta_s$	زاویه رول بدنه خودرو	M	جرم کل خودرو	F <sub>yi</sub>	نیروی جانبی تایر
$\theta_{ar}$	زاویه رول اکسل عقب خودرو	$m_{uf}$	جرم غیرفری تعليق جلو	F <sub>zi</sub>	نیروی نرمال تایر
$\phi_s$	زاویه پیچ بدنه خودرو	$m_{ur}$	جرم غیرفری تعليق عقب	g	شتاب جاذبه زمین
		p	زاویه رول بدنه خودرو	hra	فاصله مرکز ثقل تا محور رول
		Pi	ورودی جاده	K <sub>tot</sub>	سختی رول کل خودرو
		T	سرعت یاو خودرو	Ks	سختی فنر سیستم تعليق

توجه به این نکته ضروری است که بهسازی سیستم تعليق صرفاً

با درنظر گرفتن فاکتور راحتی و بدون توجه به عملکرد کنترل جهتی و مانورپذیری خودرو امکانپذیر نخواهد بود. در این خصوص پس از مطالعات انجام شده و با درنظر گرفتن محدودیتهای موجود، مکانیزم سه لینکی با میله پانهارد<sup>۷</sup> همراه با فنرهای حلقوی انتخاب و روی خودرو نصب شد.

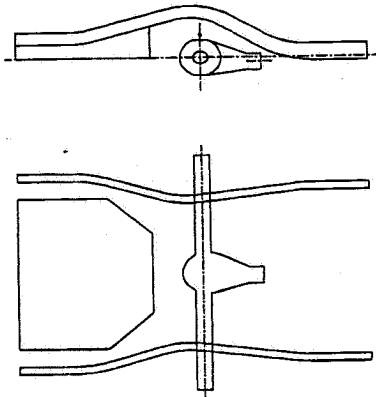
## ۲- سیستم تعليق اکسل صلب با فنر تخت (سیستم فعلی)

در این مکانیزم، دو فنر تخت اکسل را در دو نقطه که اصطلاحاً چشمی و گوشواره‌ای گفته می‌شود، به شاسی متصل می‌کنند. علاوه بر فنرهای کمک فنرهای ساده نیز با کمی زاویه روی اکسل نصب می‌شوند به طوری که ارتعاشات بدنه را در اثر اغتشاشات جاده کنترل کنند. این مکانیزم به دلیل سادگی و هزینه پایین به طور قابل توجهی در خودروهای سواری و سنگین مورد استفاده قرار می‌گیرد. توجه به این نکته ضروری است که فنرهای تخت به غیر از سختی نرمال، در جهات دیگر نیز (رول یا پیچ) سختی لازم را فراهم می‌کنند. اما با این وجود در اکثر خودروهای سواری مجهز به این

سیستمهای تعليق به منظور تحمل وزن خودرو، فراهم کردن کنترل جهتی، پایداری مطلوب و کاهش ارتعاشات از طرف جاده به سرنشین در خودرو استفاده می‌شوند.

سیستمهای تعليق با توجه به دو فاکتور مهم یعنی راحتی سواری و کنترل جهتی طراحی می‌شوند. امروزه به دلیل وجود ارتعاشات و زیری حرکتی، فرسوده شدن سریع و کاهش فزیری (پس از مدتی نیاز به بادگیری و فنرکوبی مجدد پیدا می‌کنند) از فنرهای حلقوی به جای تخت در سیستمهای تعليق استفاده می‌شود. هدف از انجام این پروژه، جایگزین کردن مکانیزم مناسبتر با فنر حلقوی و با توجه به اعمال کمترین تغییرات به جای مکانیزم فعلی با فنر تخت است، به طوری که از نظر راحتی وضعیت مطلوبتری برای خودروی مورد نظر فراهم شود [۱].

البته لازم به ذکر است که حذف فنرهای تخت موجب تغییر درجه آزادی مکانیزم خواهد شد چراکه هر فنر تخت به عنوان یک مجموعه دولینکی، اکسل عقب را مقید می‌کند بنابراین در مکانیزم جدید تغییر درجه آزادی با به کارگیری لینکهای اضافی جبران شده است.

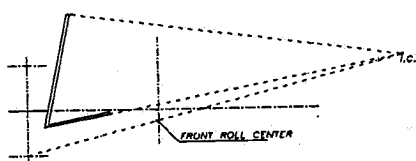


شکل ۲

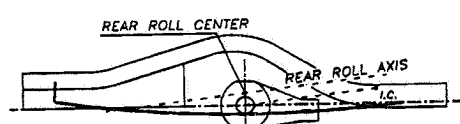
به عنوان نمونه به موارد زیر اشاره می‌شود:

الف - اندازه‌گیری سه بعدی (CMM)، به منظور تعیین مختصات اتصالات تعیق جلو و عقب و محدودیتهای فضایی موجود، شکل (۲).

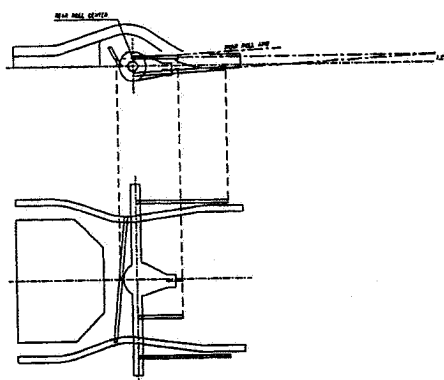
ب - تعیین مراکز رول مکانیزم‌های تعیق جلو و عقب به روش هندسی، مطابق شکل‌های (۳-الف) تا (۳-ج).



شکل ۳-الف - روش تعیین مرکز رول مکانیزم تعیق جلو



شکل ۳-ب - روش تعیین مرکز رول تعیق عقب قدیم



شکل ۳-ج - روش تعیین مرکز رول تعیق عقب جدید

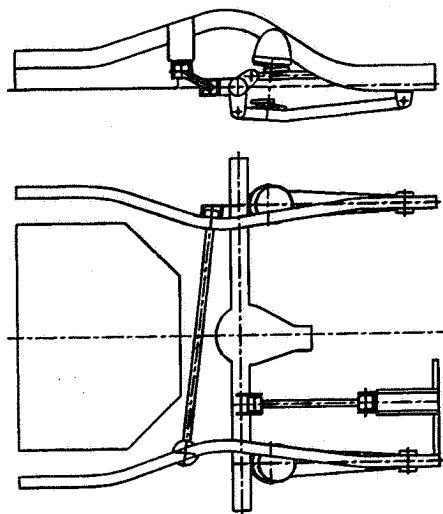
نوع سیستم تعیق، اختشاشات سطح جاده به ویژه دست اندازه‌ای بزرگ، موجب زبری حرکتی خودرو و کاهش راحتی سواری خواهد شد. معمولاً ارتعاشات جانبی، طولی و پیچشی از مهمترین ارتعاشات موجود در سیستمهای تعیق اکسل صلب هستند [۳].

### ۳- تعیق سه لینکی با فنر حلقوی

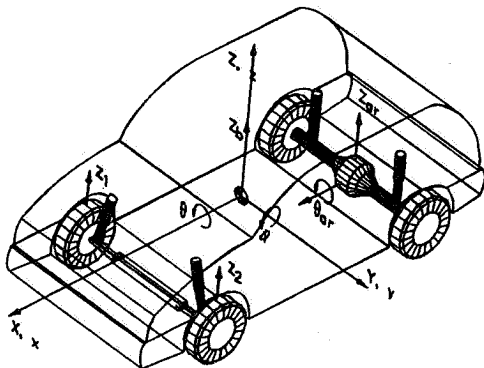
mekanizm مورد نظر از دو بازوی کنترل پایینی، یک بازوی کنترل بالایی و یک میله عرضی به همراه دو فنر حلقوی تشکیل شده است. میله عرضی علاوه بر جذب نیروهای جانبی، بخشی از ممان پیچشی اکسل را نیز کنترل می‌کند. بازوی کنترلی پایین تغییر مکان طولی اکسل در اثر ترمز و یا شتاب خودرو و بازوی کنترلی بالایی ضمن حفظ موقعیت اکسل نسبت به بدنه، حرکتهای جانبی اکسل را نیز کنترل می‌کند. بنابراین مجموعه بازوی کنترلی و میله عرضی باعث حفظ وضعیت مناسبتر اکسل نسبت به بدنه خواهد شد. در این مکانیزم، تغییرات کمتر مرکز رول در شرایط مختلف حرکت خودرو باعث می‌شود تا انتقال بار به صورت یکنواخت‌تری روی چرخها توزیع شود که همین عامل باعث بهبود عملکرد خودرو در شرایط مانوری مختلف است. این مکانیزم به طور شماتیک در شکل (۱) نشان داده شده است.

### ۴- بهسازی سیستم تعیق عقب

برای بهسازی سیستم تعیق عقب مراحل مختلفی دنبال شد که



شکل ۱



شکل ۴- مدل هفت درجه آزادی سواری خودرو

ارتعاشات نرمال و زاویه‌ای را توصیف کند که از طرف جاده به سرنشین انتقال می‌یابد و بر راحتی سفر مؤثر است، شکل (۴).

در این مدل، سیستم تعیق و تایر به صورت یک فنر و کمک فنر در نظر گرفته شده است. با استفاده از این مدل می‌توان پاسخ خودرو را به ورودیهای مختلف جاده مانند پریو دیک و پله‌ای به دست آورد. معادله‌های حاکم بر این سیستم با استفاده از معادله‌های نیوتون-اویلر به صورت زیر خواهد بود:

$$M_s \ddot{Z}_s = -(F_{s1} + F_{s2} + F_{s3} + F_{s4})$$

$$I_{xxs} \ddot{\theta}_s = \frac{t_f}{2} (F_{s2} - F_{s1}) + \frac{t_r}{2} (F_{s4} - F_{s3})$$

$$I_{yy_s} \ddot{\phi}_s = a (F_{s1} + F_{s2}) - b (F_{s3} + F_{s4}) \quad (1)$$

$$m_{uf} \ddot{Z}_i = F_{si} - F_{zi} \quad i = 1, 2$$

$$m_{ur} \ddot{Z}_r = -F_{z3} - F_{z4} + F_{s3} + F_{s4}$$

$$I_{RX} \ddot{\theta}_{Rx} = \frac{ts_r}{2} (F_{s4} - F_{s3}) - \frac{t_r}{2} (F_{z4} - F_{z3})$$

که در معادله‌های بالا  $F_{si}$  و  $F_{zi}$  به ترتیب معرف نیروهای دینامیکی تعیق و تایر است:

ج - اندازه‌گیری توزیع وزن خودروی مورد نظر بر روی اکسلهای جلو و عقب

د - اندازه‌گیری مشخصه‌های دینامیکی خودرو از قبیل ارتفاع مرکز ثقل، ممانهای اینرسی در جهات اصلی به منظور شبیه‌سازی دینامیکی خودرو

ه - تحلیل دینامیکی خودرو قبل و بعد از اعمال تغییرات روی مکانیزم عقب

و - آزمون جاده

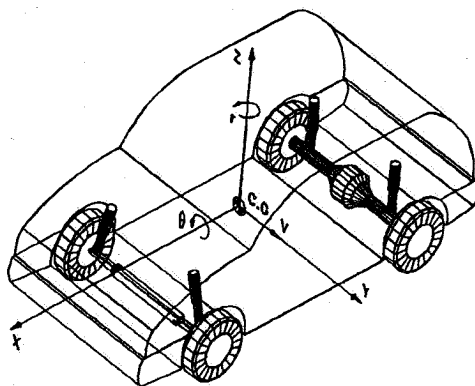
در بهسازی تعیق برای بهبود سواری و مانورپذیری خودرو، فاکتورهایی مانند شتاب نرمال بدنه، سختی رول و مرکز رول در نظر گرفته شده‌اند. محدوده راحتی سرنشین ISO2631 برای هشت ساعت رانندگی به عنوان معیار راحتی [۵] و فاکتور خوش فرمانی در شرایط پایدار، پاسخهای مربوط به شتاب جانبه، نرخ رول بدنه و تغییرات یاوه به عنوان معیارهای سنجش کیفیت کنترل جهتی خودرو مورد توجه قرار گرفته‌اند.

#### ۵- مدلسازی دینامیکی خودرو

به منظور بررسی علمکرد دینامیکی خودرو قبل و بعد از تغییر مکانیزم تعیق عقب، از مدل‌های ریاضی مناسب برای دو حالت سواری و کنترل جهتی استفاده شده است. در این مدلها، کلیه اجزای خودرو از قبیل جرم فنری و جرم‌های غیرفنری جلو و عقب به صورت صلب و با جرم متمرکز که توسط اجزایی مثل فنر و کمک فنر به یکدیگر متصل هستند در نظر گرفته می‌شود. با استفاده از معادله‌های نیوتون-اویلر، معادله‌های حاکم بر سیستم تعیین و سپس با استفاده از روش عددی رانگ کوتا با فاصله زمانی ثابت، حل شده‌اند. از روی پاسخهای زمانی حاصله می‌توان عملکرد خودرو را در شرایط مختلف حرکت مورد ارزیابی قرار داد [۶ و ۷].

#### ۱-۱- مدل سواری خودرو

به منظور بررسی حرکت سواری خودرو از یک مدل هفت درجه آزادی استفاده شده است که در آن درجات آزادی مورد نظر شامل حرکتهای عمودی، رول و پیچ بدنه (جرم فنری)، حرکتهای عمودی چرخهای جلو و همین طور حرکتهای عمودی و رول اکسل عقب خواهد بود. این مدل می‌تواند کلیه حرکتهای ارتعاشی خودرو مانند



شکل ۵- مدل سه درجه آزادی کنترل جهتی خودرو

معادله های حاکم بر رفتار خودرو با توجه به معادله های نیوتون-اویلر به صورت زیر است:

$$M \left( \dot{V} + U_r \right) + M_s h_{ra} \dot{p} = F_{y_{fo}} + F_{y_{fi}} + \\ F_{y_{ro}} + F_{y_{ri}} \quad (6)$$

$$I_{zz} \ddot{r} - I_{xz} \dot{p} = a \left( F_{y_{fo}} + F_{y_{fi}} \right) - \\ b \left( F_{y_{ro}} + F_{y_{ri}} \right) - \sum_{i=1}^4 M_{Z_i} \quad (7)$$

در این مدل به منظور توصیف رفتار غیرخطی تایر در شرایط کنترل جهتی از مدل کالسپان<sup>۱۱</sup> استفاده شده است. در این مدل نیروهای طولی، جانبی و ممان میزان کننده تایر به صورت توابعی غیرخطی از لغزش طولی، زاویه لغزش جانبی، بار نرمал و زاویه کمبر در نظر گرفته می شوند.

#### ۶- شبیه سازی دینامیکی خودرو

به منظور ارزیابی عملکرد سواری و مانور پذیری خودرو در شرایط مختلف جاده و ورودی فرمان، برنامه رایانه ای به زبان MATLAB تهیه شد. از قابلیتهای این برنامه می توان به موارد زیر اشاره کرد:

الف - شبیه سازی رفتار سواری خودرو: در این حالت می توان پاسخهای زمانی مربوط به جابه جایی، سرعت و شتاب بدنه و اکسلهای جلو و عقب و همچنین نیروهای واردہ از طرف سیستم

$$F_{S_i} = K_{S_i} \left( Z_b + (-1)^i \frac{t_f}{2} \theta_s + a(-1)^i \phi_s = Z_i \right) \\ + C_{S_i} \left( Z_b + (-1)^i \frac{t_f}{2} \theta_s + a(-1)^i \phi_s - Z_i \right) - \\ (-1)^i \frac{K_f (Z_2 - Z_1)}{t_f^2} \quad i=1, 2 \quad (2)$$

$$F_{S_i} = K_{S_i} \left[ Z_b + (-1)^i \frac{t_f}{2} \theta_s - b(-1)^i \phi_s - Z_{ar} - \right. \\ \left. (-1)^i \frac{t_r}{2} \theta_{ar} \right] + C_{S_i} \left[ \dot{Z}_b + (-1)^i \frac{t_f}{2} \dot{\theta}_s + \right. \\ \left. a(-1)^i \dot{\phi}_s - \dot{Z}_{ar} - (-1)^i \frac{t_r}{2} \dot{\theta}_{ar} \right] \quad i=3, 4 \quad (3)$$

$$F_{T_i} = K_t \left( Z_i - P_i \right) + C_t \left( \dot{Z}_i - \dot{P}_i \right) \quad i=1, 2 \quad (4)$$

$$F_{T_i} = K_t \left( Z_i + (-1)^i \frac{t_r}{2} \theta_{ar} - P_i \right) + \\ C_t \left( \dot{Z}_i + (-1)^i \frac{t_r}{2} \dot{\theta}_{ar} - \dot{P}_i \right) \quad i=3, 4 \quad (5)$$

#### ۲-۵- مدل کنترل جهتی خودرو

به منظور بررسی عملکرد خودرو در شرایط مانوری مختلف از یک مدل غیرخطی سه درجه آزادی استفاده شده است که در آن درجات آزادی مورد نظر شامل حرکتهای جانبی، رول بدنه و یا و گرفته می شوند.

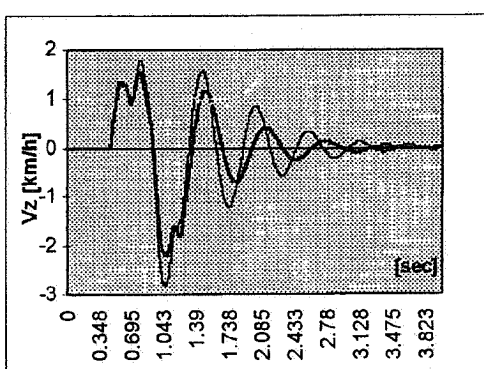
با توجه به این مدل می توان تأثیر پارامترهای مهمی مانند سختی جانبی تایر، موقعیت مرکز جرم، هندسه تعلیق و کامپلینسها<sup>۸</sup> سیستم تعلیق و فرمان را بررسی کرد. در این مدل نیز همانند مدل سواری، خودرو به صورت سه جرم متمرکز در نظر گرفته شده است. لازم به ذکر است که به کمک این مدل نیز می توان تأثیر پارامترهای مهمی از جمله رول استیر<sup>۹</sup> و رول کمبر<sup>۱۰</sup> که در اثر هندسه مکانیزم تعلیق پدید می آیند و بر روی عملکرد هندلینگ خودرو تأثیر خواهد داشت را بررسی کرد. مدل سه درجه آزادی کنترل جهتی در شکل (۵) نشان داده شده است. در این حالت،

تعليق به بدنه را برای شرایط مختلف جاده به دست آورد.

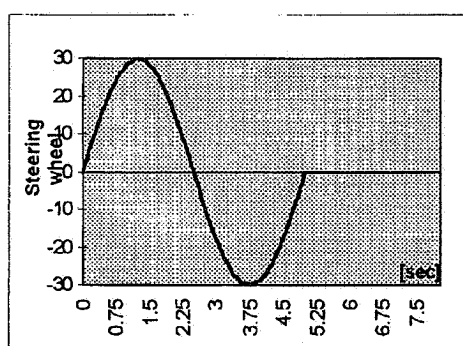
ب - شبیه‌سازی رفتار کنترل جهتی خودرو برای شرایط پایدار و گذرا؛ در این حالت، نمودارهای مربوط به پاسخهای زمانی شتاب جانبی، سرعت جانبی، نرخ تغییرات یا و رول را برای ورودیهای مختلف فرمان از قبیل پلهای، ضربه و سینوسی به دست می‌آید.

با توجه به نتایج حاصله می‌توان تأثیر سختی، توزیع جرم و سایر پارامترهای دینامیکی را بر روی رفتار خودرو به ویژه کنترل جهتی آن بررسی کرد.

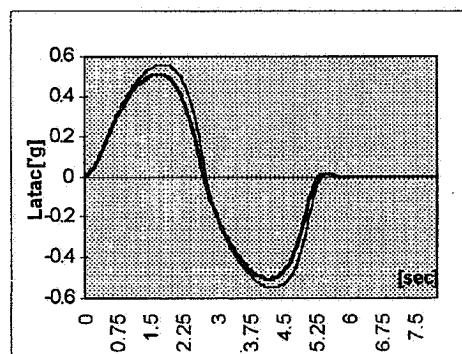
با استفاده از این برنامه و اطلاعات ورودی مورد نیاز مربوط به پارامترهای دینامیکی پیکان از قبیل وزن، اینرسی، سختی و میرایی، جدول (۲)، می‌توان عملکرد خودرو را قبل و بعد از اعمال تغییرات مورد بررسی قرار داد. پاسخهای زمانی خودرو برای ورودیهای خاصی از جاده و فرمان (ورودی جاده به صورت پستی و بلندی<sup>۱۲</sup> و فرمان به صورت سینوسی) در شکل‌های (۶) تا (۱۱) آورده شده‌اند.



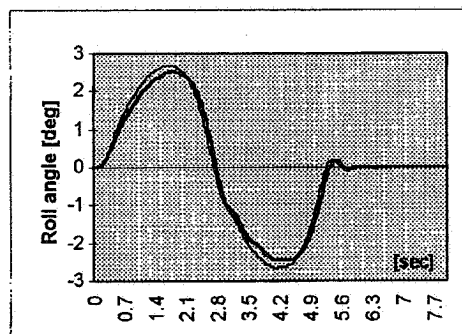
شکل ۸- مقایسه سرعت نرمال مرکز ثقل خودرو در اثر ورودی جاده مطابق شکل (۱)



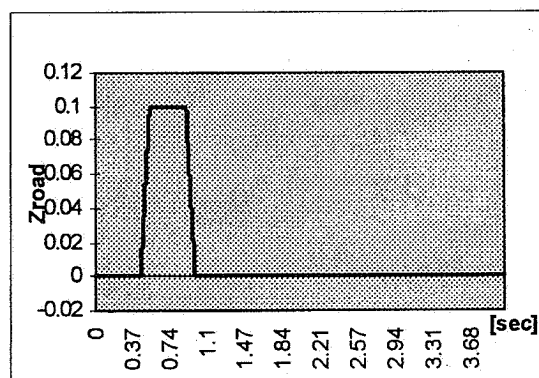
شکل ۹- ورودی فرمان به منظور بررسی کنترل جهتی خودرو



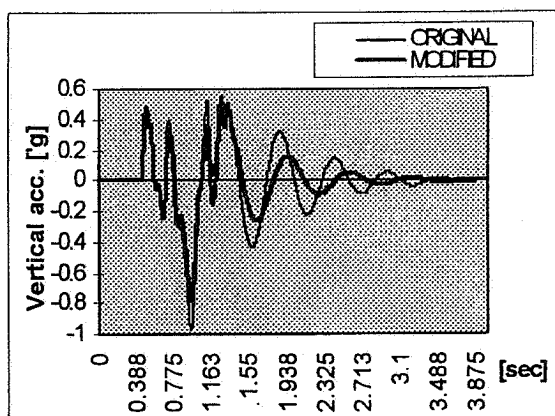
شکل ۱۰- مقایسه شتاب جانبی خودرو در اثر ورودی فرمان مطابق شکل (۴)



شکل ۱۱- مقایسه زاویه رول بدنه خودرو در اثر ورودی فرمان مطابق شکل (۴)



شکل ۶- پروفیل ورودی جاده برای بررسی سواری خودرو



شکل ۷- مقایسه شتاب نرمال مرکز ثقل بدنه خودرو در اثر ورودی جاده مطابق شکل (۱)

### جدول ۱ - نتایج آزمون حسی خودرو

عنوان آزمون انجام شده	شاخص مورد نظر	وضعیت خودرو قبل از تغییر سیستم تعليق عقب	وضعیت خودرو قبل از تغییر سیستم تعليق عقب	وضعیت خودرو پس از تغییر سیستم تعليق عقب
مانورپذیری خودرو در حالت پایدار بر روی جاده‌های صاف	تقارن فرمان	۶,۵	۵	
مانورپذیری خودرو در حالت پایدار بر روی جاده‌های ناصاف	میزان ضربه زدن فرمان در هنگام عبور چرخ از روی دستانداز	۶	۵	
مانورپذیری خودرو در حالت گذرا پایداری جهتی خودرو	میزان رول خودرو	۷,۵	۵	
پایداری جهتی خودرو	گیجی فرمان	۷	۶	
پایداری جهتی خودرو	میزان تغییرات زاویه فرمان چرخ در اثر عبور از روی دستانداز	۶	۵	

۱- برای نشان دادن کیفیت عملکرد خودرو در تستهای حسی مختلف توسط راننده‌های آزمون از اعداد صفر تا ده استفاده می‌شود به طوری که شماره ۱۰ حالت ایده‌آل را نشان می‌دهد.

### جدول ۲ - پارامترهای دینامیکی خودرو

مقادیر اندازه‌گیری شده	پارامترهای خودرو برای شبیه‌سازی دینامیکی
۹۹۵	جرم کل خودرو (kg)
۷۰	جرم غیرفنری جلو (kg)
۱۰۰	جرم غیرفنری عقب (kg)
۴۲۰	ممان اینرسی رول خودرو ( $kgm^2$ )
۱۴۵۶	ممان اینرسی پیچ خودرو ( $kgm^2$ )
۱۴۰۰	ممان اینرسی یا و خودرو ( $kgm^2$ )
۱۰۰	ممان اینرسی رول اکسل عقب خودرو ( $kgm^2$ )
۱۰۳۲	فاصله جانبی بین چرخهای جلو (m)
۱۰۳۲	فاصله جانبی بین چرخهای عقب (m)
۲,۵	فاصله طولی بین چرخهای جلو و عقب (m)
۱,۱۴	فاصله مرکز ثقل خودرو تا اکسل جلو (m)
۰,۰۵	ارتفاع مرکز ثقل خودرو تا زمین (m)
۲۶۳۸ و ۸۸۵	ضریب دمپینگ کمک فنر جلو در حالتی باز شدن و بسته شدن (Ns/m)
۱۵۰۱ و ۸۱۲	ضریب دمپینگ کمک فنر عقب در حالتی باز شدن و بسته شدن (Ns/m)
۲۰۲۲۵	سختی فنر حلقوی تعليق جلو (N/m)
۲۵۰۰۰	سختی فنر حلقوی تعليق عقب برای مکانیزم جدید (N/m)
۱۸۰۰۰	سختی نرمال تایر (N/m)
۵۰۰	دمپینگ نرمال تایر (Ns/m)
۲۷۴	سختی میل موجگیر جلو (Nm/deg)
۱۹	نسبت فرمان

## ۷- نتایج

الف - شتاب عمودی بدنه (در شرایطی که خودرو از روی یک دست انداز به صورت پستی و بلندی عبور می‌کند) خودرو با مکانیزم تعليق جدید کمتر از حالت قبلی یعنی اکسل صلب با فنر تخت است. بنابراین راحتی سواری خودرو با استفاده از مکانیزم جدید نسبت به حالت قبلی به طور محسوسی بهبود یافته است.

ب - رفتار کنترل جهتی خودروی پیکان نیز با سیستم تعليق جدید با توجه به کاهش شتاب جانبی، زاویه رول بدنه و کاهش تغییرات یا خودرو در مقایسه با مکانیزم اکسل صلب با فنر تخت بهبود یافته است، بنابراین تحلیل دینامیکی صورت گرفته نشان می‌دهد که عملکرد خودروی پیکان با مکانیزم تعليق جدید از حالت قبلی بهتر است. علاوه بر این، نتایج آزمون جاده خودروی مورد نظر، جدول (۱)، نیز بهبود عملکرد پیکان با مکانیزم تعليق جدید را تصدیق می‌کند.

پس از تعیین مرکز رول مکانیزم تعليق عقب پیکان با فنر تخت و مکانیزم جدید با فنر حلقوی، به نظر می‌رسد علاوه بر نزدیک بودن مرکز رول سیستم تعليق جدید با فنر حلقوی به محور اکسل عقب، تغییرات آن نیز کمتر است که همین عامل باعث می‌شود تا عملکرد دینامیکی خودرو در شرایط کنترل جهتی بهبود یابد.

مکانیزم تعليق جدید با فنر لول و مکانیزم تعليق قبلی با فنر تخت از جهات مختلفی به خصوص سختی رول، سختی سواری، مرکز رول و مشخصه‌های سینماتیکی و کامپلینس متفاوت خواهند بود. اضافه کردن مجموعه لینکها به غیر از فراهم کردن درجه آزادی لازم برای اکسل عقب، مقاومت رول خودرو را در غیاب میله‌های موجگیر افزایش می‌دهد.

با توجه به شکل‌های پیوست (نتایج تحلیل سواری و کنترل جهتی خودرو) دیده می‌شود:

## واژه نامه

- 1. ride
- 2. Rantling
- 3. Panhard bar
- 4. coils spring
- 5. roll center
- 6. roll stiffness
- 7. three links with Panhard rod
- 8. compliance
- 9. roll steer
- 10. roll camber
- 11. Calspan
- 12. bump

## مراجع

- 1. Eliss, J. R., *Vehicle Handling Dynamics*, Mechanical Engineering Publication Limited, 1993.
- 2. Gillespie, T. D., *Fundamentals of Vehicle Dynamics*, SAE publication, 1992.
- 3. Nalecz, A. G., "Investigation into the Effects of Suspension Design on Stability of Light Vehicle", *SAE-87497*, 1987.
- 4. Nalecz, A. G., Bindemann, A. C., "Handling Properties of 4WS," *SAE 890080*, 1989.
- 5. Evaluation of Human Exposure to Whole-Body Vibration, *ISO2631*, 1989.